

Starkniederschlagshöhen und -spenden gemäß KOSTRA-DWD-2010R

Auswertungszeitraum von 1951 - 2010, Januar - Dezember

Rasterfeld: 64041

Zeile: 64

Spalte: 41

Seite: 1/2

| Dauerstufe D | Wiederkehrzeit T | | | | | | | | | | | | | | | | | | |
|--------------|------------------|------|------------|------|------------|------|------------|------|------------|------|------------|------|------------|------|------------|------|------------|------|------------|
| | 1 a | | 2 a | | 3 a | | 5 a | | 10 a | | 20 a | | 30 a | | 50 a | | 100 a | | |
| min | Std | mm | l / (s ha) | mm | l / (s ha) | mm | l / (s ha) | mm | l / (s ha) | mm | l / (s ha) | mm | l / (s ha) | mm | l / (s ha) | mm | l / (s ha) | mm | l / (s ha) |
| 5 | | 4,8 | 160,0 | 6,3 | 210,0 | 7,1 | 236,7 | 8,2 | 273,3 | 9,7 | 323,3 | 11,2 | 373,3 | 12,0 | 400,0 | 13,1 | 436,7 | 14,6 | 486,7 |
| 10 | | 7,7 | 128,3 | 9,9 | 165,0 | 11,1 | 185,0 | 12,6 | 210,0 | 14,7 | 245,0 | 16,8 | 280,0 | 18,1 | 301,7 | 19,6 | 326,7 | 21,7 | 361,7 |
| 15 | | 9,7 | 107,8 | 12,3 | 136,7 | 13,8 | 153,3 | 15,7 | 174,4 | 18,4 | 204,4 | 21,0 | 233,3 | 22,5 | 250,0 | 24,4 | 271,1 | 27,0 | 300,0 |
| 20 | | 11,1 | 92,5 | 14,1 | 117,5 | 15,9 | 132,5 | 18,1 | 150,8 | 21,2 | 176,7 | 24,2 | 201,7 | 26,0 | 216,7 | 28,2 | 235,0 | 31,2 | 260,0 |
| 30 | | 13,0 | 72,2 | 16,7 | 92,8 | 18,9 | 105,0 | 21,7 | 120,6 | 25,4 | 141,1 | 29,2 | 162,2 | 31,4 | 174,4 | 34,1 | 189,4 | 37,9 | 210,6 |
| 45 | | 14,6 | 54,1 | 19,2 | 71,1 | 22,0 | 81,5 | 25,4 | 94,1 | 30,0 | 111,1 | 34,6 | 128,1 | 37,3 | 138,1 | 40,8 | 151,1 | 45,4 | 168,1 |
| 60 | | 15,6 | 43,3 | 21,0 | 58,3 | 24,1 | 66,9 | 28,1 | 78,1 | 33,5 | 93,1 | 38,9 | 108,1 | 42,0 | 116,7 | 46,0 | 127,8 | 51,4 | 142,8 |
| 90 | | 17,0 | 31,5 | 22,4 | 41,5 | 25,5 | 47,2 | 29,5 | 54,6 | 34,9 | 64,6 | 40,2 | 74,4 | 43,4 | 80,4 | 47,4 | 87,8 | 52,7 | 97,6 |
| 120 | 2 | 18,0 | 25,0 | 23,4 | 32,5 | 26,6 | 36,9 | 30,5 | 42,4 | 35,9 | 49,9 | 41,3 | 57,4 | 44,4 | 61,7 | 48,4 | 67,2 | 53,8 | 74,7 |
| 180 | 3 | 19,6 | 18,1 | 25,0 | 23,1 | 28,2 | 26,1 | 32,1 | 29,7 | 37,5 | 34,7 | 42,9 | 39,7 | 46,0 | 42,6 | 50,0 | 46,3 | 55,3 | 51,2 |
| 240 | 4 | 20,9 | 14,5 | 26,2 | 18,2 | 29,4 | 20,4 | 33,3 | 23,1 | 38,7 | 26,9 | 44,1 | 30,6 | 47,2 | 32,8 | 51,2 | 35,6 | 56,5 | 39,2 |
| 360 | 6 | 22,7 | 10,5 | 28,1 | 13,0 | 31,2 | 14,4 | 35,2 | 16,3 | 40,5 | 18,8 | 45,9 | 21,3 | 49,0 | 22,7 | 53,0 | 24,5 | 58,4 | 27,0 |
| 540 | 9 | 24,7 | 7,6 | 30,1 | 9,3 | 33,2 | 10,2 | 37,2 | 11,5 | 42,5 | 13,1 | 47,9 | 14,8 | 51,0 | 15,7 | 55,0 | 17,0 | 60,3 | 18,6 |
| 720 | 12 | 26,3 | 6,1 | 31,6 | 7,3 | 34,8 | 8,1 | 38,7 | 9,0 | 44,1 | 10,2 | 49,4 | 11,4 | 52,6 | 12,2 | 56,5 | 13,1 | 61,8 | 14,3 |
| 1080 | 18 | 28,6 | 4,4 | 34,0 | 5,2 | 37,1 | 5,7 | 41,0 | 6,3 | 46,4 | 7,2 | 51,7 | 8,0 | 54,9 | 8,5 | 58,8 | 9,1 | 64,1 | 9,9 |
| 1440 | 24 | 30,4 | 3,5 | 35,7 | 4,1 | 38,9 | 4,5 | 42,8 | 5,0 | 48,2 | 5,6 | 53,5 | 6,2 | 56,6 | 6,6 | 60,6 | 7,0 | 65,9 | 7,6 |
| 2880 | 48 | 38,3 | 2,2 | 44,2 | 2,6 | 47,7 | 2,8 | 52,0 | 3,0 | 57,9 | 3,4 | 63,8 | 3,7 | 67,3 | 3,9 | 71,7 | 4,1 | 77,6 | 4,5 |
| 4320 | 72 | 43,9 | 1,7 | 50,1 | 1,9 | 53,8 | 2,1 | 58,4 | 2,3 | 64,6 | 2,5 | 70,8 | 2,7 | 74,5 | 2,9 | 79,1 | 3,1 | 85,3 | 3,3 |

Angaben in mm: Bemessungsniederschlagswerte h(n)

Angaben in l / (s ha): Regenspende R(n) mit $R(n) = h(n) \times 1,666667 / D[\text{min}]$

Toleranzbereiche:

+/- 10 % für $1 \text{ a} \leq T \leq 5 \text{ a}$

+/- 15 % für $5 \text{ a} < T \leq 50 \text{ a}$

+/- 20 % für $50 \text{ a} < T \leq 100 \text{ a}$

Datenbasis: KOSTRA-DWD-2010R des Deutschen Wetterdienstes. Die Regenspende wurde auf Basis des Bemessungsniederschlags zur jeweiligen Andauer berechnet.

Für die Richtigkeit und Aktualität der Angaben wird keine Gewähr übernommen. Erstellt 07/2022.

Starkniederschlagshöhen und -spenden gemäß KOSTRA-DWD-2010R

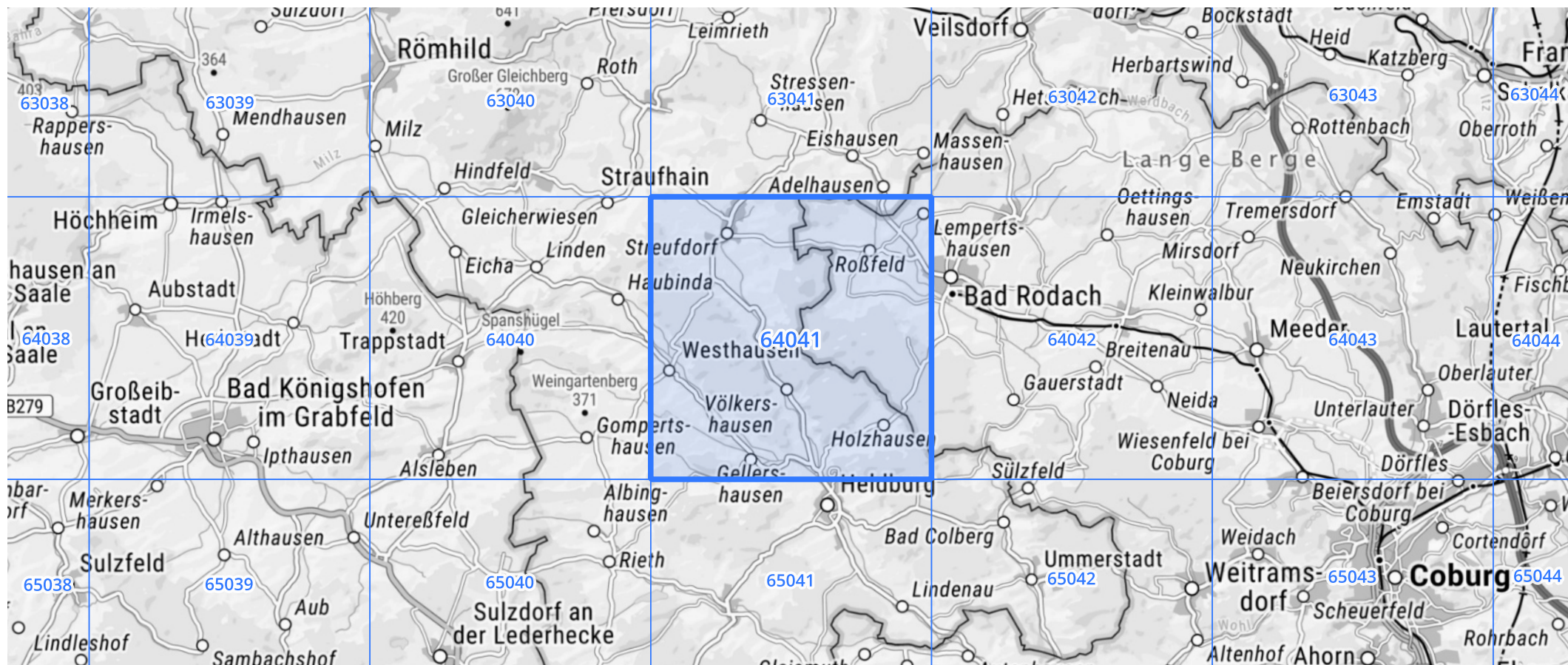
Auswertungszeitraum von 1951 - 2010, Januar - Dezember

Rasterfeld: 64041

Zeile: 64

Spalte: 41

Seite: 2/2



Quelle Rasterdaten: KOSTRA-DWD-2010R des Deutschen Wetterdienstes.

Kartendarstellung: © Bundesamt für Kartographie und Geodäsie (2022), Datenquellen: https://sgx.geodatenzentrum.de/web_public/gdz/datenquellen/Datenquellen_TopPlusOpen.html

Für die Richtigkeit und Aktualität der Angaben wird keine Gewähr übernommen. Erstellt 07/2022.